

Vorlesung Lineare Algebra I

WiSe'19/20 hhu
K. Halupczok

§6: Euklidische und unitäre Vektorräume
L23: Geometrie im \mathbb{R}^n

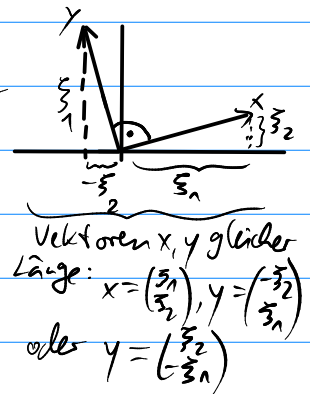
Stichworte: senkrecht/orthogonal, elementargeom. Sätze, Winkelmessung, Kosinussatz, Drehmatrizen, Vektorprodukt, Orthonormalsystem, Orientierung eines ONS, Hesse-Normalform, Lot

Der \mathbb{R}^n , versehen mit dem Standard-S.P. ist der Prototyp eines euklidischen Raumes. Wir beschäftigen uns hier ein wenig mit der anschaulichen Geometrie, die in euklidischen Räumen gilt. Sei im folgenden $\langle \cdot, \cdot \rangle$ das reelle Standard-S.P.

23.1. Def.: In \mathbb{R}^n heißen zwei Vektoren $x, y \in \mathbb{R}^n$ senkrecht aneinander / orthogonal, falls $\langle x, y \rangle = 0$ ist. In Zeichen: $x \perp y$.

Bsp.: Anschaulich im \mathbb{R}^2 : $\langle x, y \rangle = \left\langle \begin{pmatrix} \xi_1 \\ \xi_2 \end{pmatrix}, \begin{pmatrix} \eta_1 \\ \eta_2 \end{pmatrix} \right\rangle = \xi_1 \eta_1 + \xi_2 \eta_2$

Bem.: Der Nullvektor 0 ist orthogonal zu jedem Vektor.



Wir werden in L24 mehr über Orthogonalität in unitären Räumen erfahren.

23.2. Elementargeometrische Sätze mit vektoriellem Beweis (im \mathbb{R}^n , eine Auswahl):

• Satz vom Rechteck: Parallelogramm ist Rechteck (\Leftrightarrow) Diagonalen gleichlang

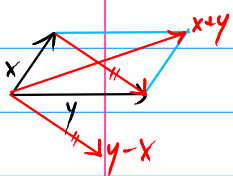
$$\lceil \|x-y\|^2 = \|x+y\|^2 \Leftrightarrow \|x\|^2 - 2\langle x, y \rangle + \|y\|^2 = \|x\|^2 + 2\langle x, y \rangle + \|y\|^2 \Leftrightarrow \langle x, y \rangle = 0 \rceil$$

• Satz vom Rhombus: Parallelogramm hat gleichlange Seiten (\Leftrightarrow) Diagonalen senkrecht

$$\lceil \langle x-y, x+y \rangle = \|x\|^2 - \|y\|^2, \text{ somit: } \|x\| = \|y\| \Leftrightarrow \langle x-y, x+y \rangle = 0 \rceil$$

• Satz von Pythagoras: Dreieck rechtwinklig $(\Leftrightarrow) \|x\|^2 + \|y\|^2 = \|x-y\|^2$

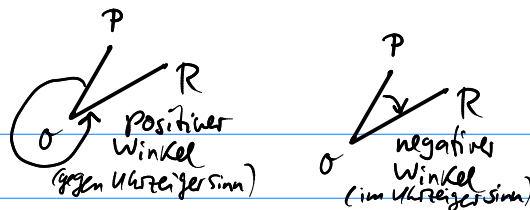
$$\lceil \text{klar mit } \|x-y\|^2 = \|x\|^2 - 2\langle x, y \rangle + \|y\|^2 \rceil$$



• Drehung um $\frac{\pi}{2}$ im \mathbb{R}^2 : $\perp: \mathbb{R}^2 \rightarrow \mathbb{R}^2, x \mapsto x^\perp := \begin{pmatrix} -\xi_2 \\ \xi_1 \end{pmatrix}$, falls $x = \begin{pmatrix} \xi_1 \\ \xi_2 \end{pmatrix}$

• Lie-Klammer im \mathbb{R}^2 : $[x, y] := \langle x^\perp, y \rangle = \det(x, y)$, ist bilinear & alternierend:
 $[x, y] = -[y, x]$

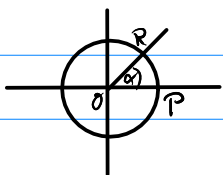
• Es gilt im \mathbb{R}^2 : $\langle x, y \rangle^2 + [x, y]^2 = \|x\|^2 \|y\|^2$, vgl. C-S-Unglg. 22.15.



23.3. Winkelmessung ("Trigonometrie")

Durch die Angabe dreier Punkte P, O, R in \mathbb{R}^m wird (in dieser Reihenfolge) ein (gerichteter) Winkel $\angle(POR)$ am Scheitelpunkt O erklärt. Seiner Größe soll ein Zahlenwert $\in \mathbb{R}$ zugeordnet werden, den Wert des Winkels. Das Vorzeichen soll angeben, ob der Winkel rechts ($\leadsto +$) oder links ($\leadsto -$) des Streckenanges von P nach O nach R verläuft; er verläuft dann gegen bzw. im Uhrzeigersinn.

23.4. Winkel im Kreismodell: Wählen $O = P = \begin{pmatrix} 1 \\ 0 \end{pmatrix} \in \mathbb{R}^2$, $O = \begin{pmatrix} 0 \\ 0 \end{pmatrix}$ als Scheitelpunkt fest, und R auf dem Einheitskreis liegend (so dass $\|R\| = 1$).



Jeder Punkt R steht dann für einen Winkel $\alpha \in \mathbb{R}$.

Der Betrag des Winkels wird mit der Länge des Bogens von P nach R angegeben. Für $R = \begin{pmatrix} -1 \\ 0 \end{pmatrix}$, der sogenannte gestreckte Winkel, wird diese Zahl π genannt (d.h. die Kreiszahl π) wird so definiert (in Analysis II wird gezeigt, dass diese Zahl π mit der aus Analysis I gemachten Def. von π ($\frac{\pi}{2}$ = kleinste pos. Nst. von \cos) übereinstimmt). Der halbe gestreckte Winkel ist der rechte Winkel (d.h. RO, PO mit $R = \begin{pmatrix} 0 \\ 1 \end{pmatrix}$ stehen senkrecht), beträgt also $\frac{\pi}{2}$. Dem Vollkreis entsprechen 2π . Mit mehrmaligem Durchlaufen des Kreises werden so beliebige Winkel $\alpha \in \mathbb{R}$ erklärt (im Bogenmaß; die Umrechnung in das Gradmaß ist linear gemäß $180^\circ = \pi$).

23.5. Def.: die beiden Koordinaten von $R_\alpha = \begin{pmatrix} \xi_1 \\ \xi_2 \end{pmatrix}$ im Einheitskreismodell heißen Kosinus und Sinus von α , also $\cos \alpha := \xi_1$, $\sin \alpha := \xi_2$, so dass wir $R = \begin{pmatrix} \cos \alpha \\ \sin \alpha \end{pmatrix}$ schreiben. Man erhält die Winkelfunktionen $\cos: \mathbb{R} \rightarrow [-1, 1]$, $\sin: \mathbb{R} \rightarrow [-1, 1]$.

23.6. Bem.: 1. Schließt ein Vektor $x = \begin{pmatrix} \xi_1 \\ \xi_2 \end{pmatrix} \in \mathbb{R}^2$ mit der 1. Koordinatenachse den Winkel α ein, so ist $\xi_1 = \|x\| \cos \alpha$ und $\xi_2 = \|x\| \sin \alpha$, da $x = \|x\| \cdot R_\alpha$ für den Referenzpunkt R_α .
2. Haben $|e^{i\alpha}| = 1$ für jedes $\alpha \in \mathbb{R}$ laut Analysis I. Mit der dortigen Formel $e^{i\alpha} = \cos \alpha + i \sin \alpha$ schreibt man, wenn man $\mathbb{R}^2 \cong \mathbb{C}$ beachtet, dass die Winkelfunktionen der Analysis I genau mit den hier erklärten Winkelfunktionen übereinstimmen. Aus $e^{i(\alpha+\beta)} = e^{i\alpha} \cdot e^{i\beta}$ erhält man dann die Additionstheoreme und alle daraus resultierenden Formeln, speziell das Additionstheorem für den \cos : $\cos(\alpha+\beta) = \operatorname{Re}(e^{i\alpha} \cdot e^{i\beta}) = \cos \alpha \cos \beta - \sin \alpha \sin \beta$.

23.7. Kosinussatz: Für den Winkel $\alpha = \angle(x, y)$ zwischen $x, y \in \mathbb{R}^m$ gilt $\cos \alpha = \frac{\langle x, y \rangle}{\|x\| \cdot \|y\|}$.

Bew.: • Fall $n=2$: Haben $\alpha = \angle(x, L(0)) - \angle(y, L(0)) =: \varphi - \psi$, nach dem Additionstheorem für den cos folgt $\cos \alpha = \cos(\varphi - \psi) = \cos \varphi \cos \psi + \sin \varphi \sin \psi = \frac{\sum_1 \eta_1}{\|x\| \cdot \|y\|} + \frac{\sum_2 \eta_2}{\|x\| \cdot \|y\|} = \frac{\langle x, y \rangle}{\|x\| \cdot \|y\|}$. s.P. im \mathbb{R}^2

• Für den Winkel α zwischen x, y gilt also

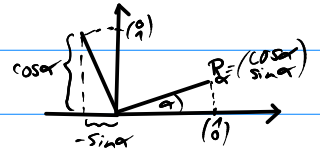
$$\|x-y\|^2 = \|x\|^2 + \|y\|^2 - 2\langle x, y \rangle = \|x\|^2 + \|y\|^2 - 2\|x\| \cdot \|y\| \cos \alpha.$$

• Beliebiges n : Die letzte Formel gilt für jedes n . Damit ist für jedes n richtig, dass $\|x\|^2 + \|y\|^2 - 2\|x\| \cdot \|y\| \cos \alpha = \|x-y\|^2 = \|x\|^2 + \|y\|^2 - 2\langle x, y \rangle$, also $\cos \alpha = \frac{\langle x, y \rangle}{\|x\| \cdot \|y\|}$ für den zwischen x, y eingeschlossenen Winkel α richtig ist. s.P. im \mathbb{R}^n \square

23.8. Drehmatrizen: Sei $f_\alpha: \mathbb{R}^2 \rightarrow \mathbb{R}^2$ die lineare Abb., die die Drehung um α (mit Drehzentrum 0) bewirke. Die zugehörige Matrix A_α erhalten wir mit den Bildern der Einheitsvektoren als Spalten. Haben $f_\alpha \begin{pmatrix} 1 \\ 0 \end{pmatrix} = \begin{pmatrix} \cos \alpha \\ \sin \alpha \end{pmatrix}$ per Def. und $f_\alpha \begin{pmatrix} 0 \\ 1 \end{pmatrix} = \begin{pmatrix} -\sin \alpha \\ \cos \alpha \end{pmatrix}$.

Damit wird $f_\alpha(x) = A_\alpha \cdot x$ mit der

Drehmatrix $D_\alpha := \begin{pmatrix} \cos \alpha & -\sin \alpha \\ \sin \alpha & \cos \alpha \end{pmatrix}, \alpha \in \mathbb{R}.$



Bsp.: der Drehung um $\frac{\pi}{2}$, d.h. $x \mapsto x^\perp$ aus 23.2, entspricht der Drehmatrix $\begin{pmatrix} 0 & -1 \\ 1 & 0 \end{pmatrix} = \begin{pmatrix} \cos \frac{\pi}{2} & -\sin \frac{\pi}{2} \\ \sin \frac{\pi}{2} & \cos \frac{\pi}{2} \end{pmatrix}$.

Die Hintereinanderausführung zweier Drehungen, $f_\alpha \circ f_\beta$, also $D_\alpha \cdot D_\beta$, ergibt $f_{\alpha+\beta}$, denn: $D_\alpha D_\beta = \begin{pmatrix} \cos \alpha & -\sin \alpha \\ \sin \alpha & \cos \alpha \end{pmatrix} \cdot \begin{pmatrix} \cos \beta & -\sin \beta \\ \sin \beta & \cos \beta \end{pmatrix} = \begin{pmatrix} \cos \alpha \cos \beta - \sin \alpha \sin \beta & -\cos \alpha \sin \beta - \sin \alpha \cos \beta \\ \sin \alpha \cos \beta + \cos \alpha \sin \beta & -\sin \alpha \sin \beta + \cos \alpha \cos \beta \end{pmatrix} = D_{\alpha+\beta}$ laut Additionstheoremen.

Kein Wunder: den komplexen Zahlen $z_1 = e^{i\alpha}, z_2 = e^{i\beta}$ entsprechen $R_\alpha = \begin{pmatrix} \cos \alpha \\ \sin \alpha \end{pmatrix}, R_\beta = \begin{pmatrix} \cos \beta \\ \sin \beta \end{pmatrix}$ im \mathbb{R}^2 , deren Produkt $z_1 \cdot z_2 = e^{i(\alpha+\beta)}$ der Winkelsumme $\alpha+\beta$. Der Multiplikation $e^{i\alpha} \cdot (\underbrace{\frac{x_1}{r_1} + i \frac{x_2}{r_2}}_x)$ entspricht die Drehung von x um α , denn $x = \|x\| \cdot e^{i\varphi} \sim x \cdot e^{i\alpha} = \|x\| \cdot e^{i(\varphi+\alpha)}$.

Bem.: D_α hat die beiden EWe $e^{i\alpha}, e^{-i\alpha}$. u Was sind die zugeh. EVen?

23.9. Polarkoordinaten: Jedes $x \in \mathbb{R}^2$ lässt sich eindeutig in der Form $x = r \cdot e^{i\alpha}$ schreiben, wo $r = \|x\|$ und $\alpha \in [0, 2\pi[$; mit $\alpha \in \mathbb{R}$ ist α nur bis auf Vielfache von 2π eindeutig. Man nennt das Paar $(r, \alpha) \in \mathbb{R}_{\geq 0} \times [0, 2\pi[$ dann die Polarkoordinaten von x . Für $z \in \mathbb{C}$ hat man ebenso $z = r e^{i\alpha}, r = |z|$, mit (r, α) als Polarkoordinaten von z . Wegen 23.8 kann die Darstellung von $z \in \mathbb{C}$, bzw. $x \in \mathbb{R}^2$ in Polarkoordinaten nützlich sein (weil dieses dann in Analysis I, II).

Das Vektorprodukt im \mathbb{R}^3

23.10. Def.: Zu $x = \begin{pmatrix} x_1 \\ x_2 \\ x_3 \end{pmatrix}, y = \begin{pmatrix} y_1 \\ y_2 \\ y_3 \end{pmatrix} \in \mathbb{R}^3$ sei $x \times y := \begin{pmatrix} x_2 y_3 - x_3 y_2 \\ x_3 y_1 - x_1 y_3 \\ x_1 y_2 - x_2 y_1 \end{pmatrix} \in \mathbb{R}^3$ das Vektorprodukt von x und y .

23.11. Satz (Eigenschaften des Vektorprodukts): Für $u, v, w \in \mathbb{R}^3, \alpha, \beta \in \mathbb{R}$ gelten:

(1) $(\alpha u + \beta v) \times w = \alpha(u \times w) + \beta(v \times w), u \times (\alpha v + \beta w) = \alpha(u \times v) + \beta(u \times w),$

(2) $u \times v = -v \times u,$ d.h. \times ist antisymmetrisch,

(3) u und v sind je orthogonal zu $u \times v,$ d.h. $\langle u, u \times v \rangle = 0 = \langle v, u \times v \rangle,$

(4) für $\alpha = \angle(u, v)$ ist $\|u \times v\|^2 = \|u\|^2 \cdot \|v\|^2 - \langle u, v \rangle^2 = \|u\|^2 \|v\|^2 \sin^2 \alpha.$

(5) für die Einheitsvektoren e_1, e_2, e_3 gilt die Multiplikationstabelle

\times	e_1	e_2	e_3
e_1	σ	e_3	$-e_2$
e_2	$-e_3$	σ	e_1
e_3	e_2	$-e_1$	σ

(6) es gilt $u \times v = \sigma \Leftrightarrow \exists \alpha, \beta: \alpha u + \beta v = \sigma$ und nicht $\alpha = \beta = 0,$

d.h. u, v sind linear abhängig,

(7) es gilt $\langle u, v \times w \rangle = \det(u, v, w).$

Bew.: (1)-(3), (5): geht mit einfachem Nachrechnen, ebenso

(4): $\|u \times v\|^2 = (u_2 v_3 - u_3 v_2)^2 + (u_3 v_1 - u_1 v_3)^2 + (u_1 v_2 - u_2 v_1)^2$
 $= (u_1 v_2)^2 + (u_1 v_3)^2 + (u_2 v_1)^2 + (u_2 v_3)^2 + (u_3 v_1)^2 + (u_3 v_2)^2$
 $- 2(u_1 u_2 v_1 v_2 + u_1 u_3 v_1 v_3 + u_2 u_3 v_2 v_3)$
 $= (u_1^2 + u_2^2 + u_3^2) \cdot (v_1^2 + v_2^2 + v_3^2) - (u_1 v_1 + u_2 v_2 + u_3 v_3)^2$
 $= \|u\|^2 \cdot \|v\|^2 - \langle u, v \rangle^2 \stackrel{\text{2cos-Satz 23.7.}}{=} \|u\|^2 \|v\|^2 - \|u\|^2 \|v\|^2 \cos^2 \alpha$
 $= \|u\|^2 \|v\|^2 \sin^2 \alpha, \text{ da } 1 - \cos^2 \alpha = \sin^2 \alpha.$

(6): Ist $v = \sigma,$ ist $u \times v = \sigma$ und $0 \cdot u + 1 \cdot v = \sigma$ richtig. Sei also $\exists v \neq \sigma.$

• Haben: $u \times v = \sigma \stackrel{(4)}{\Rightarrow} \|u\| \cdot \|v\| = |\langle u, v \rangle|.$ Nach dem Zusatz der C-S-Unglg. 22.15

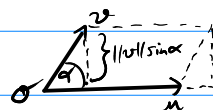
sind dann u, v lin. abh., dann ex. $\alpha, \beta \in \mathbb{R},$ nicht $\alpha = \beta = 0,$ mit $\alpha u + \beta v = \sigma.$

• Sei umgekehrt $\alpha u + \beta v = \sigma$ aber nicht $\alpha = \beta = 0.$ Da $v \neq \sigma$ ist $\alpha \neq 0,$ also $u = -\frac{\beta}{\alpha} v + \frac{\sigma}{\alpha}.$

Mit $s := -\frac{\beta}{\alpha}$ ist dann $u \times v = (s v) \times v = s(v \times v) = v \times (s v) = v \times u = -u \times v,$
 also $u \times v = \sigma.$

(7): Zeige (D1), (D2), (D3) in 18.2 für $f(u, v, w) := \langle u, v \times w \rangle.$ Die 3-Linearität (D1) ist klar wegen (1) und S.P.-Linearität, (D2) ist klar mit (6), (D3) auch klar. \square

Bem zu (4): die n.G. ist der Flächeninhalt des Parallelogramms, das von u, v aufgespannt wird. Für $u = \begin{pmatrix} u_1 \\ u_2 \\ 0 \end{pmatrix}, v = \begin{pmatrix} v_1 \\ v_2 \\ 0 \end{pmatrix}$ ist $\|u \times v\| = \left\| \begin{pmatrix} u_2 v_1 - u_1 v_2 \\ 0 \\ 0 \end{pmatrix} \right\| = |\det(u', v')| = |\det \begin{pmatrix} u_1 & u_2 \\ v_1 & v_2 \end{pmatrix}|.$



Die Standardbasis (e_1, e_2, e_3) im \mathbb{R}^3 bilden ein Orthogonalsystem, weil je zwei von ihnen senkrecht aufeinander stehen. Da $\|e_i\|=1$ für $i=1,2,3$, sind sie normiert, wir sprechen von einem Orthonormalsystem, kurz ONS (in bel. unitären Räumen def. wir dies in L24). Im \mathbb{R}^3 kann man ONSe grundsätzlich in zwei Sorten aufteilen gemäß "Orientierung".

23.12. Def.: • Drei Vektoren $x_1, x_2, x_3 \in \mathbb{R}^3$ bilden ein ONS, wenn $\forall i, j \in \{1, 2, 3\}: \langle x_i, x_j \rangle = \begin{cases} 1, & i=j \\ 0, & i \neq j \end{cases}$.
• Ein ONS (x_1, x_2, x_3) im \mathbb{R}^3 heißt positiv orientiert, wenn $\det(x_1, x_2, x_3) = +1$, und negativ orientiert, wenn $\det(x_1, x_2, x_3) = -1$.

23.13. Bem.: • Ein ONS ist lin. unabh. und daher eine Basis des \mathbb{R}^3

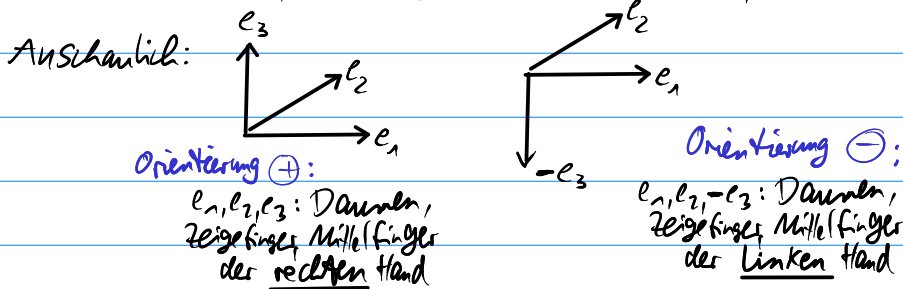
$$\left[\sum \lambda_i x_i = 0 \Rightarrow 0 = \langle 0, x_j \rangle = \langle \sum \lambda_i x_i, x_j \rangle = \sum \lambda_i \langle x_i, x_j \rangle = \lambda_j \overset{= \delta_{ij}}{\langle x_i, x_j \rangle} = \lambda_j \text{ für jedes } j \right]$$

• Ein ONS hat stets positive oder negative Orientierung.

↳ Haben also Darstellung als LK: $x_2 \times x_3 = \lambda_1 x_1 + \lambda_2 x_2 + \lambda_3 x_3$, da (x_1, x_2, x_3) Basis

$$\Rightarrow 0 = \langle x_2, x_2 \times x_3 \rangle = \lambda_2, \text{ ebenso } \lambda_3 = 0, \text{ also } x_2 \times x_3 = \lambda_1 x_1.$$

Da $\|x_2 \times x_3\|=1=\|x_1\|$, folgt $\lambda_1 = \pm 1$ und $\det(x_1, x_2, x_3) = \langle x_1, x_2 \times x_3 \rangle = \langle x_1, \lambda_1 x_1 \rangle = \lambda_1 = \pm 1$



Man kann mit einem ONS leicht rechnen, was die Koordinatendarstellung betrifft:

23.14. Satz: Sind $(x_1, x_2, x_3) \in \mathbb{R}^3$ ein ONS, gilt $\forall y \in \mathbb{R}^3$:

$$(1) y = \langle y, x_1 \rangle x_1 + \langle y, x_2 \rangle x_2 + \langle y, x_3 \rangle x_3,$$

$$(2) \|y\|^2 = \langle y, x_1 \rangle^2 + \langle y, x_2 \rangle^2 + \langle y, x_3 \rangle^2.$$

(3) Es gilt $x_3 = x_1 \times x_2$ (posor.) oder $x_3 = -x_1 \times x_2$ (negor.)

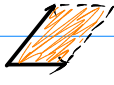

Bew.: (1): $y = \lambda_1 x_1 + \lambda_2 x_2 + \lambda_3 x_3$ zeigt $\langle y, x_j \rangle = \sum \lambda_i \langle x_i, x_j \rangle = \lambda_j$, (2): aus (1),

$$(3): x_1 \times x_2 = \lambda_1 x_1 + \lambda_2 x_2 + \lambda_3 x_3 = \underbrace{\langle x_1 \times x_2, x_1 \rangle}_{=0} x_1 + \underbrace{\langle x_1 \times x_2, x_2 \rangle}_{=0} x_2 + \lambda_3 x_3,$$

\uparrow (x_1, x_2, x_3) Basis \uparrow (1)

mit $1 = \|x_1 \times x_2\| = |\lambda_3| \cdot \|x_3\| = |\lambda_3|$ folgt $\lambda_3 = \pm 1$. □

Die Parallelogramminterpretation von 23.11. (4) lässt sich noch verallgemeinern:

23.15. Daf.: $\text{Spät}: v_1, \dots, v_m \in \mathbb{R}^m \rightsquigarrow \text{spät}(v_1, \dots, v_m) := \left\{ \sum_{i=1}^m \lambda_i v_i \mid 0 \leq \lambda_i \leq 1 \text{ für alle } i \right\}$
Simplex: $v_1, \dots, v_m \in \mathbb{R}^m \rightsquigarrow \Delta(v_1, \dots, v_m) := \left\{ \sum_{i=1}^m \lambda_i v_i \mid 0 \leq \lambda_i \text{ für alle } i \text{ und } \sum_{i=1}^m \lambda_i \leq 1 \right\}$
Bsp. m=2: $\text{Spät}\left(\begin{pmatrix} 1 \\ 0 \end{pmatrix}, \begin{pmatrix} 2 \\ 2 \end{pmatrix}\right)$:  auch: "Parallelogramm"
 $\text{Simplex } \Delta\left(\begin{pmatrix} 1 \\ 0 \end{pmatrix}, \begin{pmatrix} 2 \\ 2 \end{pmatrix}\right)$:  Halbe Fläche
 ↳ "Pyramiden"

23.16. Beh.: $\text{vol}(\text{spät}(v_1, \dots, v_m)) = |\det(v_1, \dots, v_m)| = m! \cdot \text{vol } \Delta(v_1, \dots, v_m)$. \uparrow Simplex-Volumen ohne Beweis
 \uparrow da "Volumen" mit VZ (D2), (D2), (D3) erfüllt in 18.2

23.17. Affine Räume im \mathbb{R}^m : Es gibt prinzipiell zwei Arten, affine Räume (d.h. von Geraden/Ebenen...) zu beschreiben:

• Parameterdarstellung: $G_{P,a} = \{P + t a \mid t \in \mathbb{R}\} = P + \mathbb{R}a$
 ist die Gerade im \mathbb{R}^m mit $P \in G_{P,a}$ "in Richtung" $a \in \mathbb{R}^m$,
 a heißt Richtungsvektor.

Allg. affiner Raum: $P + U$, wo $U = L(\underbrace{a_1, \dots, a_r}_{\leftarrow \text{Richtungsvektoren}})$, vgl. dazu L12.22.

• Normalendarstellung (einer Hyperebene im \mathbb{R}^m): Mit einer Gg. der Form $\langle x, c \rangle = \alpha$, d.h.:

$H_{c,\alpha} = \{x \in \mathbb{R}^m \mid \langle x, c \rangle = \alpha\}$ für $c \in \mathbb{R}^m, c \neq 0$,
 dies definiert für $m=2$ eine Gerade $G_{P,a}$ mit $c = a^\perp$, der Normalen von $G_{P,a}$,
 die senkrecht auf $G_{P,a}$ steht: Ist $H_{c,\alpha} = P + U$ mit einem UVR U , ist für $a \in U$
 $a \perp c$, da $\langle a, c \rangle = \langle a + P - P, c \rangle = \langle \underbrace{a + P}_{\in H_{c,\alpha}}, c \rangle - \langle \underbrace{P}_{\in H_{c,\alpha}}, c \rangle = \alpha - \alpha = 0$.

Wieder: $\dim U = m-1$, denn $U = \ker(f)$ mit $f: \mathbb{R}^m \rightarrow \mathbb{R}, x \mapsto \langle x, c \rangle$ ist lineare Abb.
 mit $\text{im } f = \mathbb{R}$, also $\dim U = \dim \ker f = m - \dim \text{im } f = m-1$.
 \uparrow Rangsatz

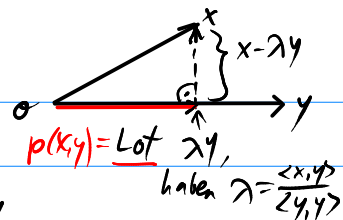
• Ein Spezialfall der Normalendarstellung ist die

Hessesche Normalform: $H_{c,\alpha}$ mit $\|c\| = 1$.

23.18. Bsp. zur Normalendarstellung: Eine Ebene E im Raum \mathbb{R}^3 kann in der Form
 $E = \left\{ \begin{pmatrix} x \\ y \\ z \end{pmatrix}; \underbrace{\sigma_1 x + \sigma_2 y + \sigma_3 z}_{= \langle x, c \rangle} = \alpha \right\}$ dargestellt werden; $c = \begin{pmatrix} \sigma_1 \\ \sigma_2 \\ \sigma_3 \end{pmatrix}$ ist dann der
 Normalenvektor, d.h. $c \perp E$.

Die Ebene $E = \left\{ \begin{pmatrix} x \\ y \\ z \end{pmatrix} \in \mathbb{R}^3; 3x - 2y - z = 2 \right\}$ z.B. steht senkrecht auf $c = \begin{pmatrix} 3 \\ -2 \\ -1 \end{pmatrix}$.

In dieser Form nennt man die Normalendarstellung auch oft Koordinatendarstellung
 von E . Anderes Bsp.: $E = \left\{ \begin{pmatrix} x \\ y \\ z \end{pmatrix} \in \mathbb{R}^3; x = \sigma \right\}$ ist die y - z -Ebene, und
 $E = \{(w, x, y, z) \in \mathbb{R}^4; w - 3x - y + 4z = 10\}$ ist die (3-dim.) Hyperebene im \mathbb{R}^4 , \perp zu $\begin{pmatrix} 1 \\ -3 \\ -1 \\ 4 \end{pmatrix}$.



23.19. Senkrechte Projektion / Lote fällen:

Def.: Lot von $x \in \mathbb{R}^n$ auf $y \in \mathbb{R}^n$: Vektor $p(x,y) := \frac{\langle x,y \rangle}{\langle y,y \rangle} \cdot y$,
dieser Vektor heißt auch senkrechte Projektion von x entlang y.

Die Zahl $\frac{\langle x,y \rangle}{\langle y,y \rangle} \in \mathbb{R}$ heißt Komponente von x entlang y.

Bestimme $\lambda \in \mathbb{R}$ mit $y \perp (x - \lambda y)$: $0 = \langle y, x - \lambda y \rangle = \langle y, x \rangle - \lambda \langle y, y \rangle$

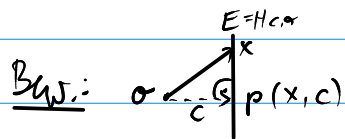
$$\Leftrightarrow \lambda = \frac{\langle x,y \rangle}{\langle y,y \rangle} \quad \square$$

Bem.: Werden in L24.9 senkrechte Projektionen auf einen beliebigen UVR definieren.

23.20. Rechnen mit der Hesseschen Normalform: Sei $E = H_{c,\alpha} = \{x \in \mathbb{R}^n; \langle x,c \rangle = \alpha\}$, $c \neq 0$.

1. Beh.: Ist $H_{c,\alpha} \subseteq \mathbb{R}^n$ geg., so ist der Abstand von 0 zu $H_{c,\alpha}$
gegeben als $\text{dist}(0, H_{c,\alpha}) = \frac{|\alpha|}{\|c\|}$.

• Ist außerdem $\|c\|=1$, ist dieser Abstand also $= |\alpha|$.



Bew.: Der gesuchte Abstand ist die Länge von $p(x,c)$,
also $\text{dist}(0, H_{c,\alpha}) = \|p(x,c)\| = \left\| \frac{\langle x,c \rangle}{\langle c,c \rangle} \cdot c \right\| = \frac{|\langle x,c \rangle|}{\|c\|} = \frac{|\alpha|}{\|c\|} \quad \square$

2. Beh.: Ist $H_{c,\alpha} \subseteq \mathbb{R}^n$ geg., so ist der Abstand von (irgendinem) $q \in \mathbb{R}^n$ zu $H_{c,\alpha}$
gegeben als $\text{dist}(q, H_{c,\alpha}) = \frac{|\langle q,c \rangle - \alpha|}{\|c\|}$.

Bew.: Betr. die um $-q$ verschobene Ebene $E' := \{x'; x'+q \in E\}$, dann ist der
gesuchte Abstand der von 0 zu E' , für ein $x' \in E'$ also $= \|p(x',c)\| = \|p(x-q,c)\|$

$$= \left\| \frac{\langle x-q,c \rangle}{\langle c,c \rangle} \cdot c \right\| = \left\| \frac{\langle x,c \rangle}{\|c\|^2} \cdot c - \frac{\langle q,c \rangle}{\|c\|^2} \cdot c \right\|$$

$$= \frac{1}{\|c\|} \cdot |\alpha - \langle q,c \rangle| \quad \square$$

